

## 수오공의 Flavonoid 성분

류정희, 곽종환, 이강노\*, 지옥표\*

성균관대학교 약학대학

### Flavonoids from *Kyllinga brevifolia* var. *leiolepsis*

Jung-Hie Lew, Jong Hwan Kwak, Kang Ro Lee\* and Ok Pyo Zee\*

College of Pharmacy, Sung Kyun Kwan University, Suwon 440-746, Korea

**Abstract** – Four flavonoids were isolated from the whole plant of *Kyllinga brevifolia* var. *leiolepsis*. Their structures were identified as quercetin, (-)-epiafzelechin, vitexin and orientin on the basis of spectral data. This is the first report of the identification of quercetin, (-)-epiafzelechin and orientin from *Kyllinga* genus.

**Key words** – *Kyllinga brevifolia* var. *leiolepsis*; Cyperaceae; flavonoid; quercetin; (-)-epiafzelechin; orientin.

수오공(水鷗蚣)은 사초과(Cyperaceae)에 속하는 파대가리(*Kyllinga brevifolia* Rottb. var. *leiolepsis* Hara)의 전초 또는 근경으로 중약 또는 민간에서 감기, 한열, 두통, 기침, 말라리아, 황달, 이질, 창상종독, 타박상 및 도상등의 치료에 사용되고 있다.<sup>1,2)</sup>

파대가리는 전국 각지의 양지바른 습지에서 흔히 자라는 *Kyllinga*속 식물로 국내에는 1속 1종만이 자생하며, 높이 5~20 cm 정도로 근경이 횡으로 뻣으면서 마디에서 화경과 뿌리가 자란다. 줄기는 삼각형 녹색기둥으로 직립하고 꽃은 정생(頂生)으로 단립 구형이며 개화기는 7~10월이다.<sup>3)</sup>

본 식물의 성분연구로는 flavone C-glycoside인 vitexin과 steroid유도체인  $\beta$ -sitosterone, ergosterol peroxide,  $\beta$ -sitosterol,  $\beta$ -sitosteryl-3-O- $\beta$ -D-glucopyranoside만이 분리보고되었다.<sup>4,5)</sup>

*Kyllinga*속 식물에 대한 화학적 성분연구로는 *Kyllinga alba*에서 luteolin이 *Kyllinga crassipes*에서 luteolin과 tricin이 보고되었으며<sup>6)</sup> *Kyllinga triceps*에서 essential oil이 연구되었고

최근 *Kyllinga erecta*로부터 다수의 diterpenoid 화합물이 분리보고되었다.<sup>7-9)</sup>

저자들은 파대가리 전초의 EtOAc분획에 대한 성분연구에着手하여 2종의 flavonoid화합물과 2종의 flavonoid C-glycoside를 분리하고 각 화합물은 quercetin(1)과 (-)-epiafzelechin(2), vitexin(3) 및 orientin(4)으로 확인 동정하였다.

Quercetin, (-)-epiafzelechin 및 orientin은 *Kyllinga*속에서 처음으로 분리보고되는 물질이며 vitexin은 본 식물에서 이미 분리된 물질이다.

### 재료 및 방법

**실험재료** – 파대가리는 1993년 8월 경기도 수원시 근교에서 채취하여 정확히 감정한 후 전초를 음건 세절하여 사용하였으며 확증표본은 성균관대학교 약학대학 표본실에 보관되어 있다(SSK93-071).

**기기 및 시약** – 용점은 Gallenkamp melting point apparatus를 사용하여 측정하였으며 UV는 Milton Roy Spectronic 1201 spectrophotometer, IR은 Shimadzu IR-435 Infrared spectrophotometer(KBr disc법)를 사용하였다.  $^1\text{H}$ -

\*교신저자 : Fax 82-331-292-8800

및  $^{13}\text{C}$ -NMR은 Bruker AC-200 spectrometer, EI-MS spectrum은 JMS-DX 303 mass spectrometer(JEOL)와 Hewlett Packard model 5985B GC/MS system으로 측정하였다. 추출 및 column chromatography용 용매는 1급시약을, 기타 시약은 1급 또는 특급을 사용하였다. Column chromatography용 silica gel은 Kiesel gel 60 (70~230과 230~400 mesh, ASTM Art. 7734과 9385, Merck)을 사용하였고, molecular sieve column chromatography용 packing 물질은 Sephadex LH-20(Pharmacia)을 사용하였으며, TLC plate는 Kiesel gel 60F<sub>254</sub> precoated plate(Art. 5552, Merck)를 사용하였다.

**추출 및 분리** - 음건세절한 파대가리의 전초 1 kg 을 50°C 이하에서 MeOH용매로 3회 반복 추출하고 얻어진 추출액을 감압농축하여 65 g의 MeOH ex. 를 얻었다. 이를 중류수에 혼탁시키고 *n*-hexane, CHCl<sub>3</sub>, EtOAc, *n*-BuOH의 순서로 용매 분획하여 각각의 분획 12 g, 2 g, 8 g 및 14 g을 얻었다.

EtOAc 분획 8 g을 CHCl<sub>3</sub>-MeOH-H<sub>2</sub>O(80:25:2)에서 CHCl<sub>3</sub>-MeOH-H<sub>2</sub>O(60:40:4)까지의 혼합 용매로 silica gel column chromatography하여 6개의 소분획 E1-E6를 얻었다. 소분획 E1을 CHCl<sub>3</sub>-MeOH(10:1)용매로 다시 silica gel column chromatography하고 Sephadex LH-20 column(MeOH)으로 정제하여 황색결정의 화합물 1(15 mg)을 얻었다. 또한 E2분획을 CHCl<sub>3</sub>-MeOH (7:1)용매로 silica gel column chromatography 한 후 다시 MeOH용매로 Sephadex LH-20 column chromatography를 실시하여 무색 무정형의 화합물 2(25 mg)을 분리하였다. 소분획 4와 5는 각각 EtOAc-MeOH-H<sub>2</sub>O(100:10:5)혼합용매로 재차 silica gel column chromatography한 후 MeOH로 재결정하여 황색결정의 화합물 3(35 mg)과 4(40 mg)을 얻었다.

**화합물 1** - mp 309~312°C: Mg-HCl, Zn-HCl, FeCl<sub>3</sub> solution test:positive. IR,  $\nu_{\text{max}}^{\text{KBr}}$  3400 (OH), 1670(C=O), 1620, 1510, 1430(aromatic C=C) cm<sup>-1</sup>; UV,  $\lambda_{\text{max}}(\text{MeOH})$  254 nm, 295 nm (sh), 370 nm, (+NaOMe) 276 nm, 330 nm, 420 nm, (+AlCl<sub>3</sub>) 268 nm, 330 nm(sh), 450 nm, (+AlCl<sub>3</sub>/HCl) 263 nm, 300 nm(sh), 358

nm(sh), 427 nm, (+NaOAc) 272 nm, 322 nm, 390 nm, (+NaOAc/H<sub>3</sub>BO<sub>3</sub>) 258 nm, 298 nm(sh), 386 nm;  $^1\text{H}$ -NMR(200 MHz, DMSO-*d*<sub>6</sub>)  $\delta$ : 6.19 (1H, d, *J*=1.9 Hz, 6-H), 6.40(1H, d, *J*=1.9 Hz, 8-H), 6.89(1H, d, *J*=8.5Hz, 5'-H), 7.55(1H, dd, *J*=8.5, 2.1 Hz, 6'-H), 7.69(1H, d, *J*=2.1 Hz, 2'-H), 9.33, 9.38, 9.60, 10.80(aromatic -OH), 12.50(1H, s, 5-OH);  $^{13}\text{C}$ -NMR : Table I 참조; MS, *m/z* 302(M<sup>+</sup>, 100), 273, 245, 229, 128.

**화합물 2** - mp 240~242°C: 1% vanillin+HCl, FeCl<sub>3</sub> solution test:positive IR,  $\nu_{\text{max}}^{\text{KBr}}$  3400(OH), 2950(aliphatic C-H), 1620, 1520(aromatic C=C); UV  $\lambda_{\text{max}}(\text{MeOH})$  223 nm(sh), 272 nm;  $^1\text{H}$ -NMR(200 MHz, CD<sub>3</sub>OD)  $\delta$ : 2.72(1H, dd, *J*=16.8, 2.8 Hz, 4a-H), 2.87(1H, dd, *J*=16.8, 4.4 Hz, 4b-H), 4.16(1H, t-like, 3-H), 4.65(1H, s, 2-H), 5.93(1H, d-like, 6, 8-H), 6.77(2H, d, *J*=8.5 Hz, 3',5'-H), 7.30(2H, d, *J*=8.5 Hz, 2',6'-H);  $^{13}\text{C}$ -NMR : Table I 참조; MS, *m/z* 274 (M<sup>+</sup>), 167, 140, 136, 108.

**화합물 3** - mp 266~269°C: Mg-HCl, Zn-HCl, FeCl<sub>3</sub> solution test:positive. IR,  $\nu_{\text{max}}^{\text{KBr}}$  3300 (OH), 1660(C=O); UV,  $\lambda_{\text{max}}(\text{MeOH})$  223 nm (sh), 272 nm, 330 nm, (+NaOMe) 277 nm, 330 nm, 392 nm, (+AlCl<sub>3</sub>) 275 nm, 303 nm, 345 nm, 375 nm, (+AlCl<sub>3</sub>/HCl) 275 nm, 302 nm, 343 nm, 380 nm, (+NaOAc) 278 nm, 303 nm, 382 nm, (+NaOAc/H<sub>3</sub>BO<sub>3</sub>) 269 nm, 330 nm, 392 nm;  $^1\text{H}$ -NMR(200 MHz, DMSO-*d*<sub>6</sub>)  $\delta$ :

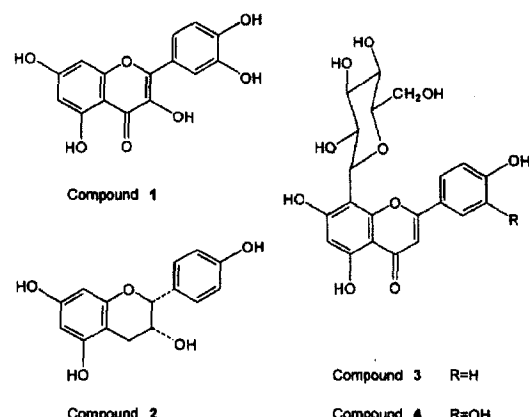


Fig. 1. Structures of compounds 1, 2, 3 and 4.

**Table I.**  $^{13}\text{C}$ -NMR chemical shifts for compound 2 in  $\text{CD}_3\text{OD}$  and compounds 1, 3, 4 in  $\text{DMSO}-d_6$  (50 MHz)

Carbon No.	1	2	3	4
2	146.6	80.2	163.9	164.1
3	135.8	67.7	102.4	102.4
4	175.7	29.6	182.0	182.0
5	160.8	157.7	160.4	160.4
6	98.2	96.7	98.4	98.3
7	163.9	157.9	163.3	162.8
8	93.4	96.2	104.6	104.6
9	156.2	158.2	156.0	156.2
10	103.0	100.4	103.7	103.8
1'	122.0	131.9	121.6	121.9
2'	115.0	129.5	128.9	114.0
3'	145.0	116.0	115.9	145.8
4'	147.7	158.3	161.2	149.7
5'	115.6	116.0	115.9	115.7
6'	120.0	129.5	128.9	119.4
1"		73.6	73.4	
2"		70.9	70.8	
3"		78.7	78.8	
4"		70.5	70.8	
5"		81.8	82.0	
6"		61.3	61.7	

3. 10~3.90(sugar H), 4.70(1H, d,  $J=9.5$  Hz, anomeric H), 6.28(1H, s, 6-H), 6.78(1H, s, 3-H), 6.90(2H, d,  $J=8.2$  Hz, 3',5'-H), 8.03(2H, d,  $J=8.2$  Hz, 2',6'-H);  $^{13}\text{C}$ -NMR: Table I 참조.

**화합물 4** - mp 260~262°C; Mg-HCl, Zn-HCl,  $\text{FeCl}_3$  solution test: positive. IR,  $\nu_{\max}^{\text{KBr}}$  3300 (OH), 1665(C=O); UV,  $\lambda_{\max}(\text{MeOH})$  267 nm, 350 nm, (+NaOMe) 267 nm, 402 nm, (+ $\text{AlCl}_3$ ) 272 nm, 300 nm(sh), 333 nm, 425 nm, (+ $\text{AlCl}_3$ /HCl) 272 nm, 300 nm, 357 nm, 390 nm, (+NaOAc) 265 nm, 398 nm, (+NaOAc/ $\text{H}_3\text{BO}_3$ ) 266 nm, 380 nm:  $^1\text{H}$ -NMR(200 MHz,  $\text{DMSO}-d_6$ ) δ:3.10~3.90(sugar H), 4.70(1H, d,  $J=9.5$  Hz, anomeric H), 6.28(1H, s, 6-H), 6.66(1H, s, 3-H), 6.88(1H, d,  $J=8.5$  Hz, 5'-H), 7.50(2H, dd,  $J=8.5$  Hz, 2.0 Hz, 6'-H), 7.54(1H, d,  $J=2.0$  Hz, 2'-H);  $^{13}\text{C}$ -NMR: Table I 참조.

## 결과 및 고찰

수오공 전초의 EtOAc분획을 각종 column chr-

omatography하여 4종의 화합물을 분리하였다.

화합물 1은  $\text{FeCl}_3$  solution, Mg-HCl 및 Zn-HCl반응에서 양성을 나타낸 점과 UV 흡수 spectrum으로 부터 flavonol화합물로 추정하였으며<sup>10)</sup> shift reagent첨가에 의한 UV 흡수 spectrum과  $^1\text{H}$ -NMR spectrum의 양상으로부터 quercetin임을 알았고 이는 문헌 기재 spectral data<sup>11,12)</sup> 및 표 품과의 직접 비교로부터 확정하였다.

화합물 2는 mp 240~242°C로  $\text{FeCl}_3$  solution에 양성을 나타내었고 1% vanillin+HCl용액에서 선홍색인 점과 UV및 IR spectrum으로 부터 flavan-3-ol로 추정하였다.<sup>13)</sup> MS spectrum에서 molecular ion peak가  $m/z$  274로 관찰되었으며  $^1\text{H}$ -NMR spectrum의 6δ.77 및 7.30 ppm에서  $\text{A}_2\text{B}_2$  proton signal이 나타났고 또한 A ring의 meta coupled proton두개가 6δ.93 ppm에서 거의 중첩되어 관찰되었다. H-2 proton이 6δ.65 ppm에서 singlet으로 나타났고 6δ.16 ppm에서 multiplet의 H-3 proton이 관찰되었으며 또한 6δ.72 와 2.87 ppm에서 H-4a, H-4b가 각각 dd( $J=16.7$ , 2.8 Hz와  $J=16.7$ , 4.4 Hz)로 나타났으므로 이는 epiafzelechin구조를 예상할 수 있다. 이상의 결과와  $^{13}\text{C}$ -NMR data 및 문헌상의 spectral data<sup>14,15)</sup> 와의 비교로부터 화합물 2는 (-)-epiafzelechin으로 확정하였다.

녹는점 266~269°C의 황색결정상 물질인 화합물 3은 이화학적 성상 및 모든 spectral data로부터 본 식물에서 이미 분리 보고된<sup>4,5)</sup> vitexin으로 결정하였다.

화합물 4는 Mg-HCl, Zn-HCl 및  $\text{FeCl}_3$  solution test에 양성반응을 나타내었으며, 267, 350 nm의 UV흡수극대치로부터 flavone골격을 가졌음을 예측하였고 shift reagent에 의한 UV 흡수 spectrum의 이동으로부터 flavonoid골격의 5, 7, 3', 4'에 유리상태의 OH기가 있음을 알았다.<sup>10)</sup>  $^1\text{H}$ -NMR spectrum의 6δ.88(d,  $J=8.5$  Hz), 7.50(dd,  $J=8.5$ , 2.0 Hz), 7.54(d,  $J=2.0$  Hz)ppm에서 각각 flavonoid B ring의 H-5'와 H-6', H-2' proton이 관찰되었고 또한 6δ.28, 6.66 ppm에서 각각 singlet으로 H-6, H-3 proton이 나타났다. 6δ.70 ppm(d,  $J=9.5$  Hz)에서는 1 mole의 당의 β형으로 결합되어 있음을 알 수 있는 당의 anom-

eric proton이 관찰되었고 또한  $^{13}\text{C}$ -NMR spectrum의 873.4 ppm에서 C-glucoside의 특징인 anomeric carbon signal이 관찰되었다. 당의 결합 위치는 luteolin<sup>16)</sup>과 화합물 4의  $^{13}\text{C}$ -NMR data를 비교하였을 때 C-8의 carbon signal이 94.2 ppm에서 104.6 ppm으로 저자장 shift된 점으로부터 flavonoid 골격의 8번 위치에 결합되었음을 확인하였다. 이상의 결과로부터 화합물 4는 luteolin-8-C- $\beta$ -D-glucopyranoside(orientin)임을 알았으며 이는 문헌 기재 spectral data<sup>12,17)</sup>와의 비교로부터 확인하였다.

## 결 론

수오공(파대가리) 전초의 MeOH 추출물을 용매분획하여 얻어진 EtOAc 분획으로부터 quercetin과 (-)-epiafzelechin, flavonoid C-glycoside인 vitexin과 orientin을 분리하였다. Vitexin은 본식물에서 보고되었지만 quercetin 및 (-)-epiafzelechin, orientin은 본 식물뿐만 아니라 *Kyllinga* 속에서도 처음으로 보고되는 것이다.

## 인용문헌

- 上海科學技術出版社 小學館編(1985) 中藥大辭典(2), 1338-1339. 小學館, 東京.
- 鄭晉燮, 辛民教(1990) 圖解鄉藥大事典(植物篇), 243. 永林社, 서울.
- 李昌福(1989) 大韓植物圖鑑, 180. 鄭文社, 서울.
- Huang, Y. Z., Chang, Y. S., San, T. C., Fan, P. T., Hu, C. P. and Chou, P. N. (1980) Study on the flavonoids of *Kyllinga brevifolia* Rottb. *Chung Ts'ao Yao* 11: 342 [C.A., 94, 71290 (1981)].
- Shin, D. and Kim, J. (1994) Chemical constituents of *Kyllinga brevifolia*. *Yakhak Hoeji*, 38: 770-774.
- Williams, C. A. and Harborne, J. B. (1977) Flavonoid chemistry and plant geography in the Cyperaceae. *Biochemical Systematics and Ecology* 5: 45-51.
- Mahmout, Y., Bessiere, J. -M. and Dolmazon, R. (1993) Hydroxymanoxyloides from *Kyllinga erecta*. *Phytochemistry* 34: 865-867.
- Dolmazon, R., Albrand, M., Bessiere, J. -M., Mahmout, Y., Wernerowska, D. and Kolodziejczyk, K. (1995) Diterpenoids from *Kyllinga erecta*. *Phytochemistry* 38: 917-919.
- Dolmazon, R., Fruchier, A. and Kolodziejczyk (1995) An epi-13-manoxyloide diterpenoid from *Kyllinga erecta*. *Phytochemistry* 40: 1573-1574.
- Marby, T. J., Markham, K. R. and Thomas, M. B. (1970) The systematic identification of flavonoids, 33-61. Springer-Verlag, New York.
- Ternai, B. and Markham, K. R. (1976) Carbon-13 NMR studies of flavonoids-I. Flavones and flavonols. *Tetrahedron* 32: 565-569.
- Hwang, Y. J., Lee, S. H., Ryu, S. Y., Ahn, J. W., Kim, E. -J., Ro, J. S. and Lee, K. S. (1994) Chemical study on the phenolic compounds from *Gleditsia japonica*. *Kor. J. Pharmacogn.* 25: 11-19.
- Do, J. C., Son, K. H. and Kang, S. S. (1988) Studies on the constituents of the roots of *Rubus parvifolius*(I). Isolation of (-)-epicatechin. *Kor. J. Pharmacogn.* 19: 170-173.
- Sethi, V. K., Taneja, S. C., Dhar, K. L. and Atal, C. K. (1984) (-)-Epiafzelechin 5-O- $\beta$ -D-glucoside from *Crataeva religiosa*. *Phytochemistry* 23: 2402-2403.
- Agrawal, P. K. (1989) Carbon-13 NMR of flavonoids, 446. Elsevier, Amsterdam.
- Berghfer, R. and H. Izl, J. (1987) Biflavonoids in *Hypericum perforatum*: Part 1. Isolation of I3, II8-biapigenin. *Planta Medica* 53: 216-217.
- Österdahl, B.-G. (1978) Chemical studies on Bryophytes. 19. Application of  $^{13}\text{C}$  NMR in structural elucidation of flavonoid C-glucosides from *Hedwigia ciliata*. *Acta Chemica Scandinavica* B32: 93-97.

(1998년 3월 30일 접수)